



# МИКРОВОЛНОВОЕ РАДИОМЕТРИЧЕСКОЕ ЗОНДИРОВАНИЕ СНЕЖНОГО ПОКРОВА В СИБИРИ ПО ДАННЫМ СПУТНИКОВ МЕТЕОР-М №1 и AQUA



Выкочко А.В.<sup>1</sup>, Митник Л.М.<sup>1</sup>, Чёрный И.В.<sup>2</sup>

<sup>1</sup> Тихоокеанский океанологический институт

им. В.И.Ильичёва ДВО РАН

<sup>2</sup> Научно-технологический центр «Космонит»

ОАО «Российские космические системы»



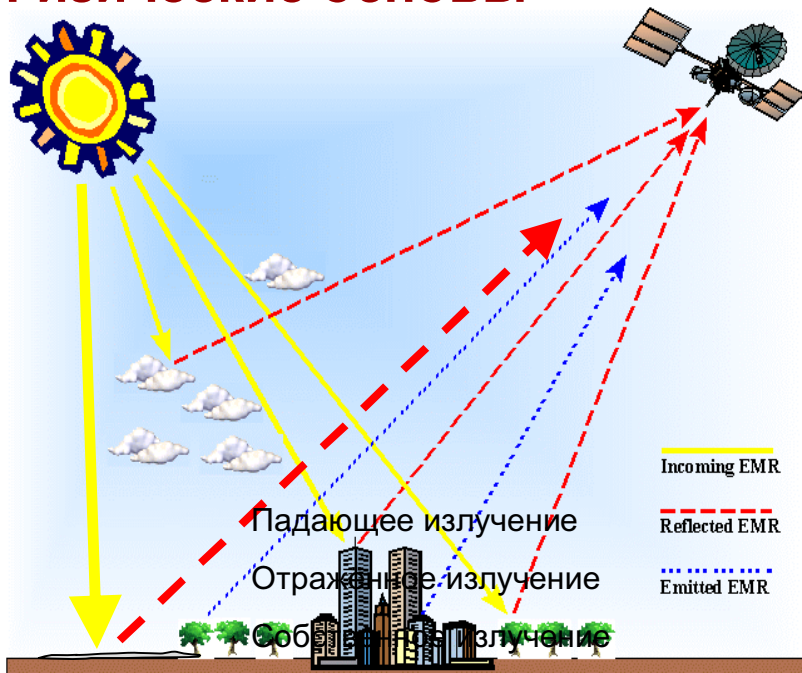
Одним из наиболее важных дистанционных методов получения информации о водных ресурсах атмосферы, речных бассейнов, влажности почв, снежном и ледяном покрове является **пассивная микроволновая радиометрия**.

**Основные преимущества СВЧ (микроволнового) диапазона:**

- атмосфера и большинство типов облаков являются полупрозрачной средой для излучения подстилающей поверхности, что позволяет производить измерения при облачности;
- измерения могут быть выполнены независимо от времени суток.
- высокая энергетическая чувствительность микроволновых радиометров.

# Микроволновая радиометрия.

## Физические основы



### Факторы, влияющие на спектр яркостной температуры ( $T_y$ ):

- характеристики подстилающей поверхности: тип, температура и рельеф местности (уклоны, шероховатость);
- толщина, структура и влажность снега;
- температура воздуха у поверхности

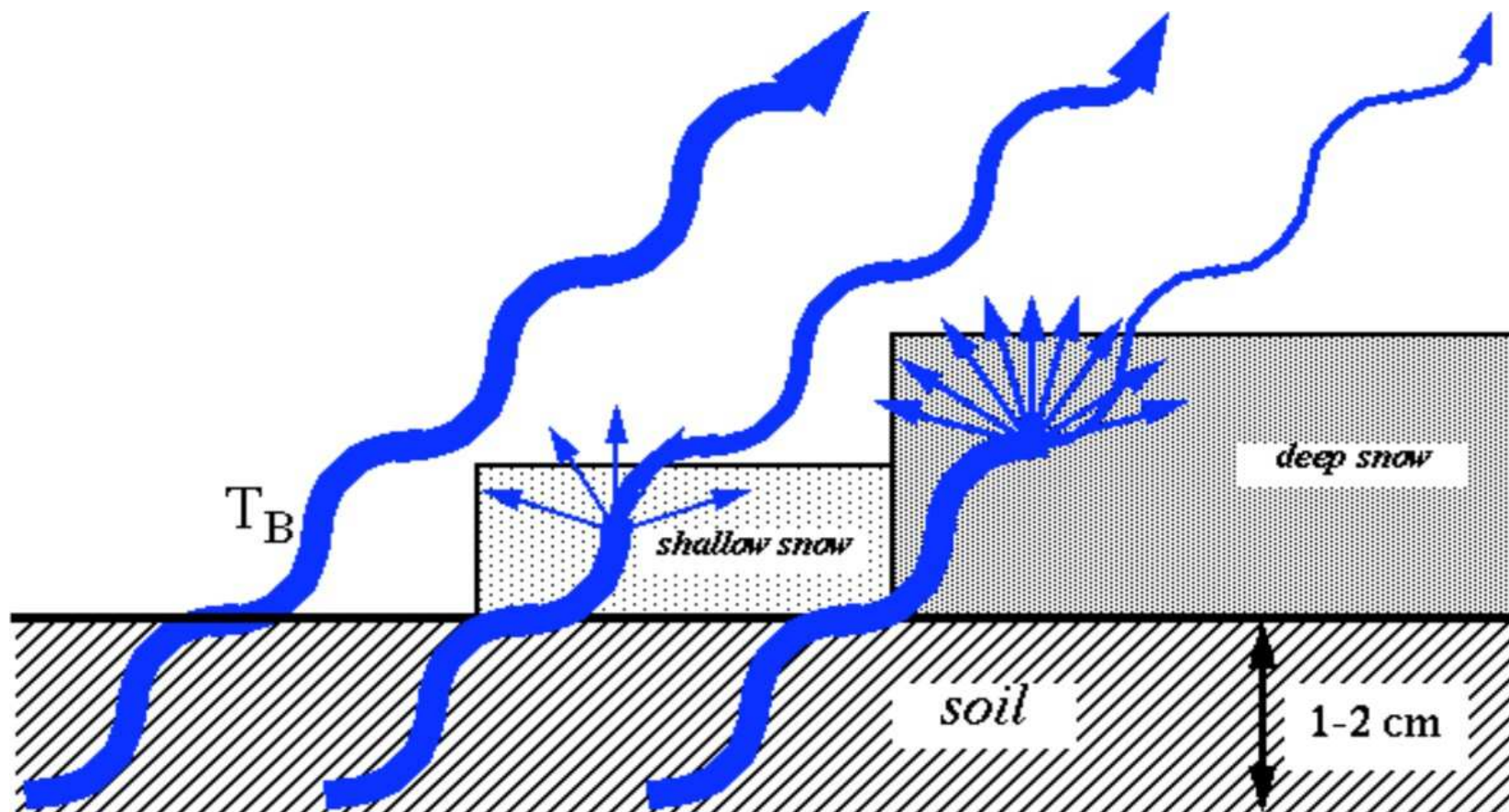
Спутниковый микроволновый радиометр принимает излучение подстилающей поверхности, ослабленное атмосферой, восходящее излучение атмосферы и нисходящее излучение атмосферы, отраженное поверхностью и ослабленное атмосферой. Интенсивность излучения характеризуется яркостной температурой  $T_y$ . Яркостная температура поверхности  $T_{y\text{п}}$  определяется её термодинамической температурой и коэффициентом излучения.

Появление снежного покрова, увеличение его толщины, вариации влажности и изменение структуры снега вызывают заметное изменение спектра  $T_{y\text{п}}$ , а, следовательно, и спектра  $T_y$ .

С увеличением толщины растет плотность снега, меняются форма и размеры снежных зерен (метаморфизм), что приводит к росту рассеяния микроволнового излучения в сухом снеге. Рассеяние возрастает с частотой.

## Пассивная микроволновая радиометрия снега

- Излучение почвы рассеивается в снежном покрове
- Рассеяние возрастает пропорционально количеству (массе) снега
- Появление снега на поверхности земли сопровождается уменьшением яркостных температур
- Спектральный градиент сухого снега отрицателен



# Данные

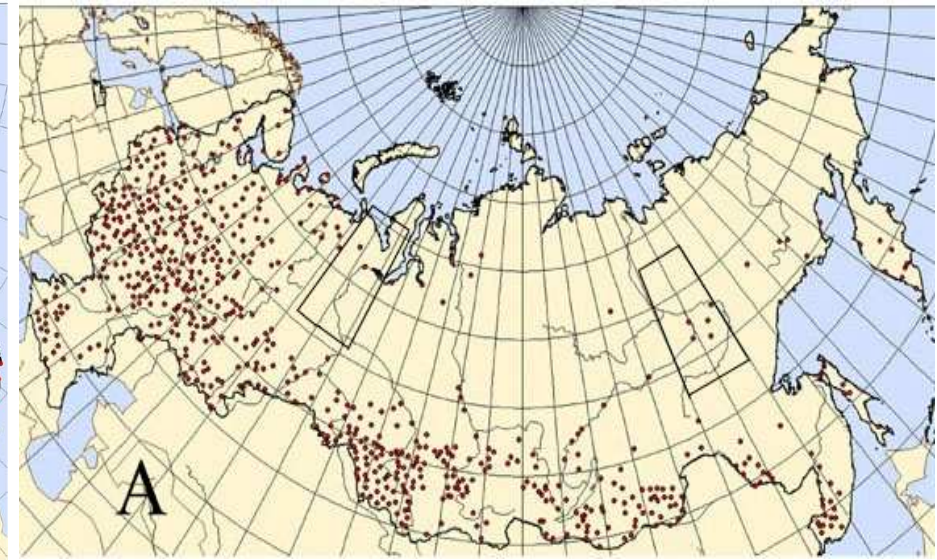
- яркостные температуры Тя на частотах 18, 36, 42 и 48 ГГц на вертикальной (В) и горизонтальной (Г) поляризациях, полученные микроволновым радиометром МТВЗА-ГЯ со спутника Метеор-М №1
- яркостные температуры Тя на частотах 18 и 36 ГГц на В- и Г-поляризациях, полученные микроволновым радиометром AMSR-E со спутника Aqua
- поля водного эквивалента снега, восстановленные по данным AMSR-E по алгоритму Kelly (Канада)

**Цель работы** - оценка возможности использования яркостных температур, измеренных радиометром МТВЗА-ГЯ на частотах  $v = 18.7, 36.7, 42.0$  и  $48.0$  ГГц на В- и Г-поляризациях при угле визирования  $65^\circ$ , для индикации эволюции снежного покрова в Сибири.

Тя со спутника Метеор-М №1 были сопоставлены с квазихронными Тя со спутника Aqua на частотах 18 и 36 ГГц В и Г-поляризациях при угле визирования  $55^\circ$ .

Временные ряды Тя были подготовлены для двух тестовых участков размером  $10^\circ \times 10^\circ$ . Центры участков находились в Салехарде и в Якутске. Время пролёта спутника над участком 1 (Якутск) – примерно в 0 и 12 Гр. и над участком 2 - примерно в  $\approx 6$  и 18 Гр, что близко к синоптическим срокам.

## Метеорологические станции



### Данные

**Слева:** ежедневных наблюдений за снежным покровом

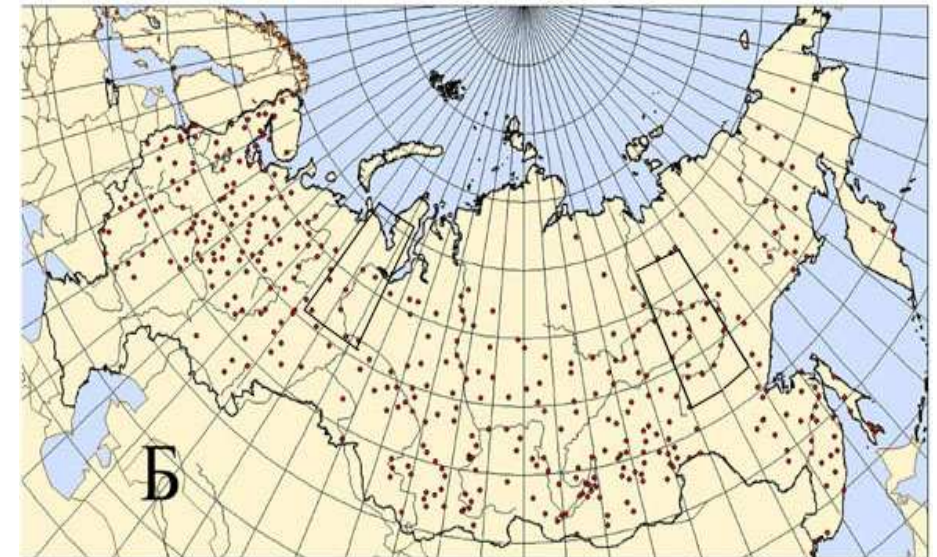
**Справа:** маршрутных снегосъёмок

**А - в поле (665 станций)**

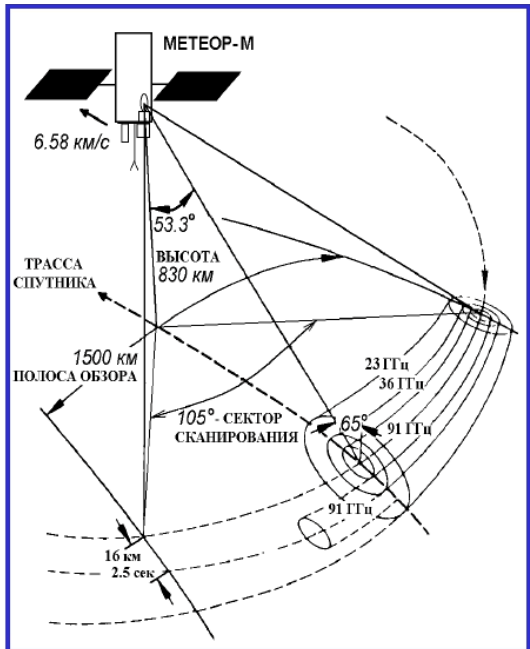
**Б - в лесу (425 станций)**

*Красными кружками обозначены метеорологические станции*

*Прямоугольниками выделены районы исследования*



## Микроволновый радиометр МТВЗА-ГЯ. Геометрия сканирования



Разработан для космического аппарата (КА) «Метеор-М» и предназначен для температурно-влажностного профилирования атмосферы, зондирования океана и суши. Радиометрические каналы сканера МТВЗА-ГЯ включает рабочие частоты в окнах прозрачности атмосферы 10.6, 18.7, 23.8, 31.5, 36.7, 42, 48 и 91 ГГц, а зондировщика в - полосе поглощения кислорода 52-57 ГГц и в области линии водяного пара 183.3 ГГц.

### Параметры радиометрических каналов

Центральная частота ГГц	Поляризация	Эффективная площадь, км×км	Пиксель изображения, км×км
10.6	В,Г	89×198	32 × 32
18.7	В,Г	52 × 116	32 × 32
23.8	В,Г	42 × 94	32 × 32
31.5	В,Г	35 × 76	32 × 32
36.5	В,Г	30 × 67	32 × 32
42	В,Г	26 × 60	32 × 32
48	В,Г	24 × 43	32 × 32
183.31±1, 183.31±3, 181.31±7	В	9 × 21	32 × 32

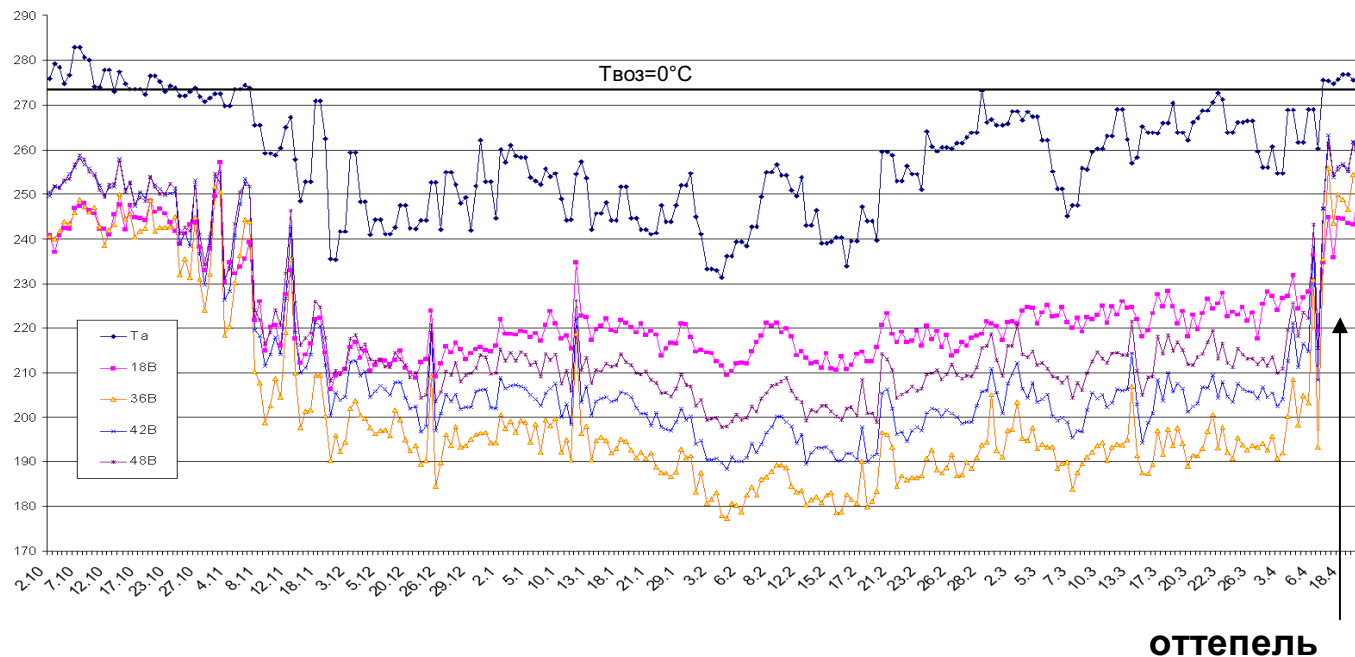
**Спутник Aqua. Микроволновый радиометр AMSR-E**



По данным измерений радиометра **AMSR-E** могут быть восстановлены: паросодержание атмосферы, водозапас облаков, интенсивность осадков, скорость приводного ветра, температура поверхности океана, сплоченность ледяного покрова, влажность почвы, и другие

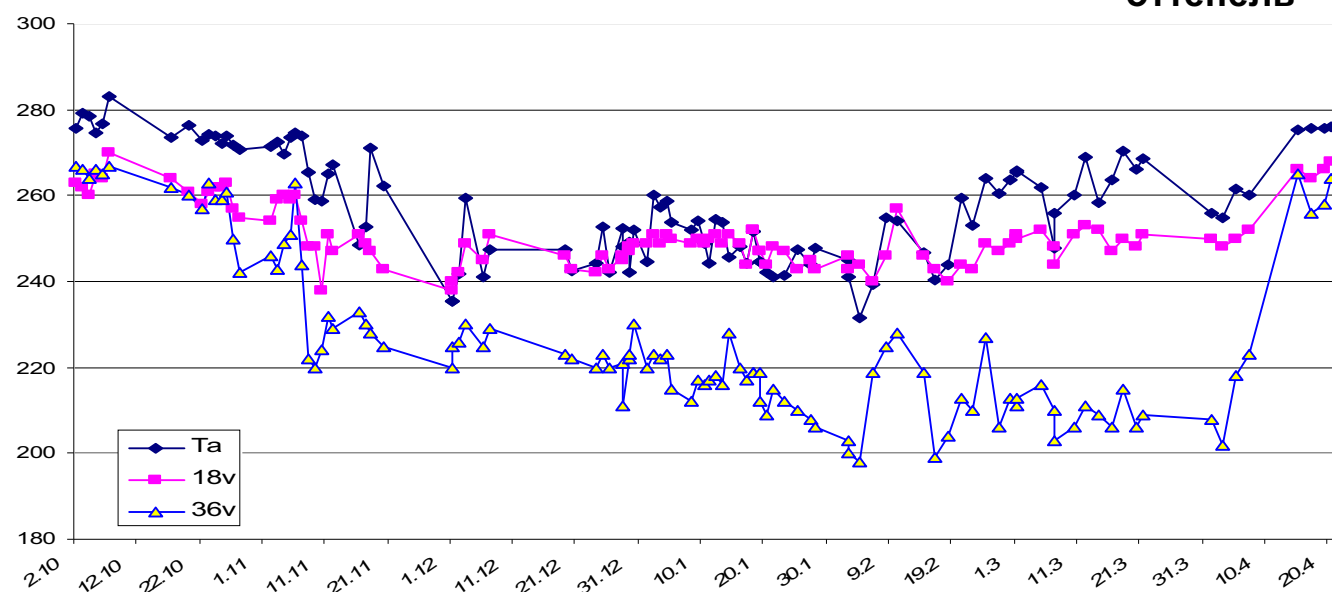
**Спутник NASA Aqua с усовершенствованным микроволновым сканирующим радиометром AMSR-E на борту был запущен на полярную солнечно-синхронную орбиту 4 мая 2002 г.**

# Временной ход температуры воздуха и яркостных температур на вертикальной поляризации в районе станции Салехард

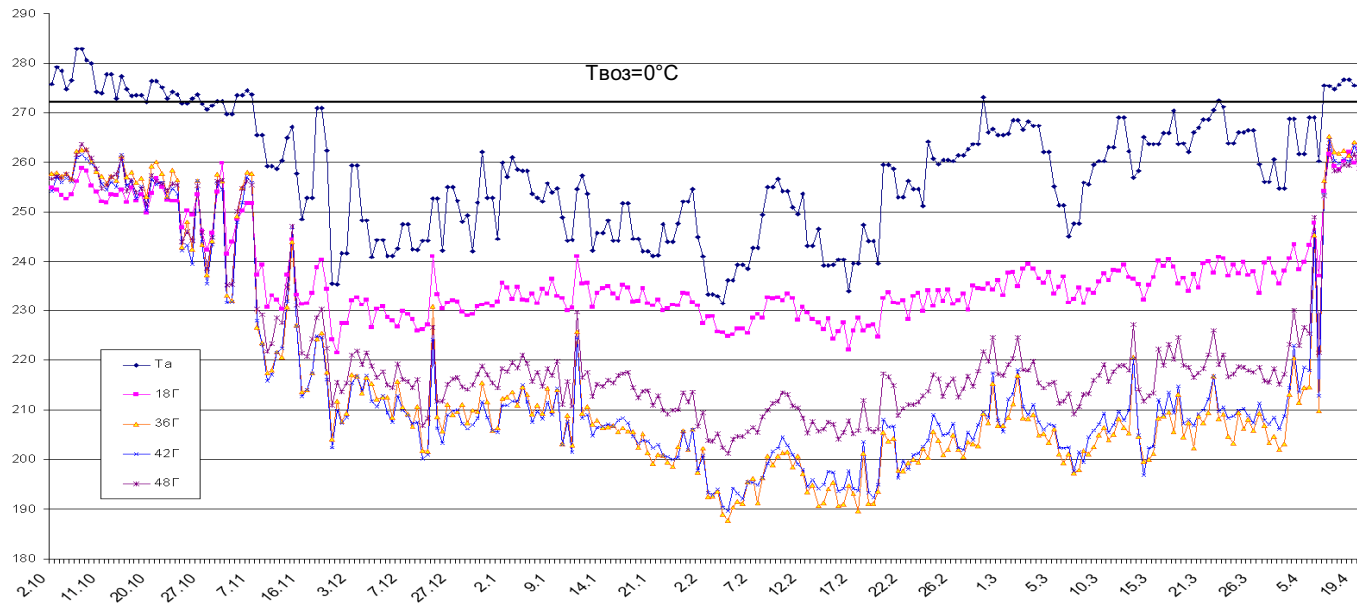


В зимний период  $t_b < 0^{\circ}\text{C}$ . Значения Тя уменьшаются с ростом частоты. Рост толщины снежного покрова до  $d = 65$  см (в декабре) сопровождается понижением яркостной температуры.

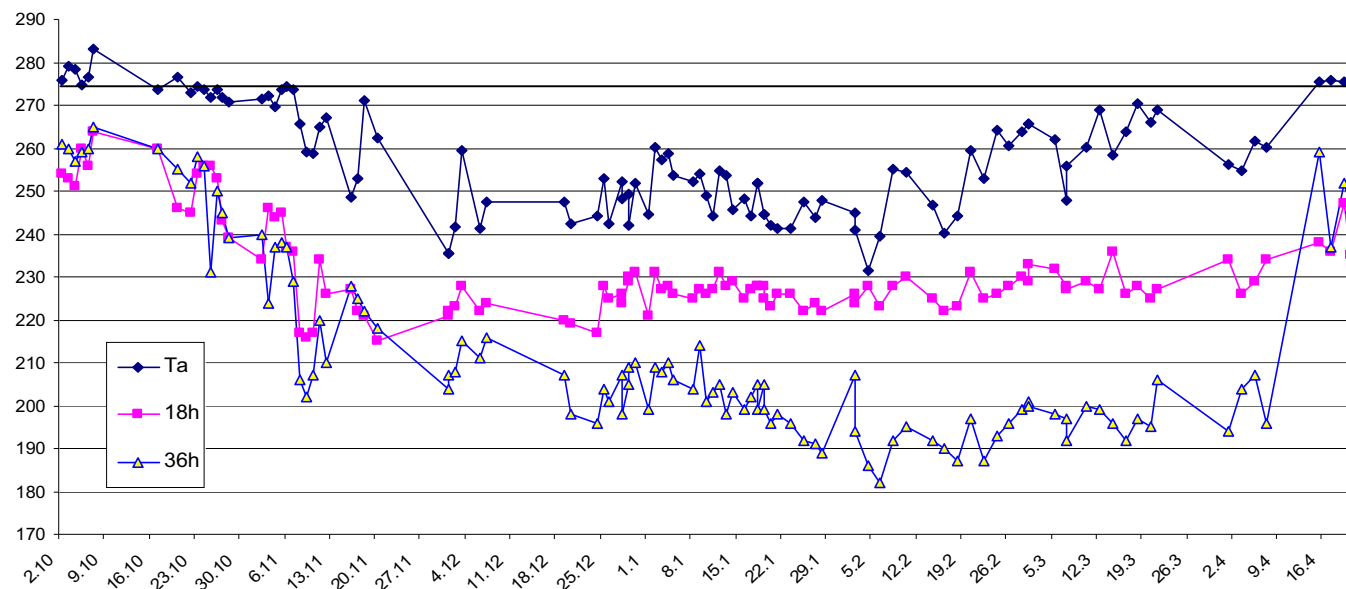
Весной при переходе  $t_b$  через  $0^{\circ}\text{C}$  ( $\approx$  с 15.04) Тя начинает быстро расти. В дневные часы снег на поверхности тает, а ночью замерзает. Интервал изменения Тя, обусловленный ростом толщины (водного эквивалента) снежного покрова составляет зимой  $\approx 20\text{-}30$  К. После перехода  $t_b$  через 0 С Тя изменяется до 10К.



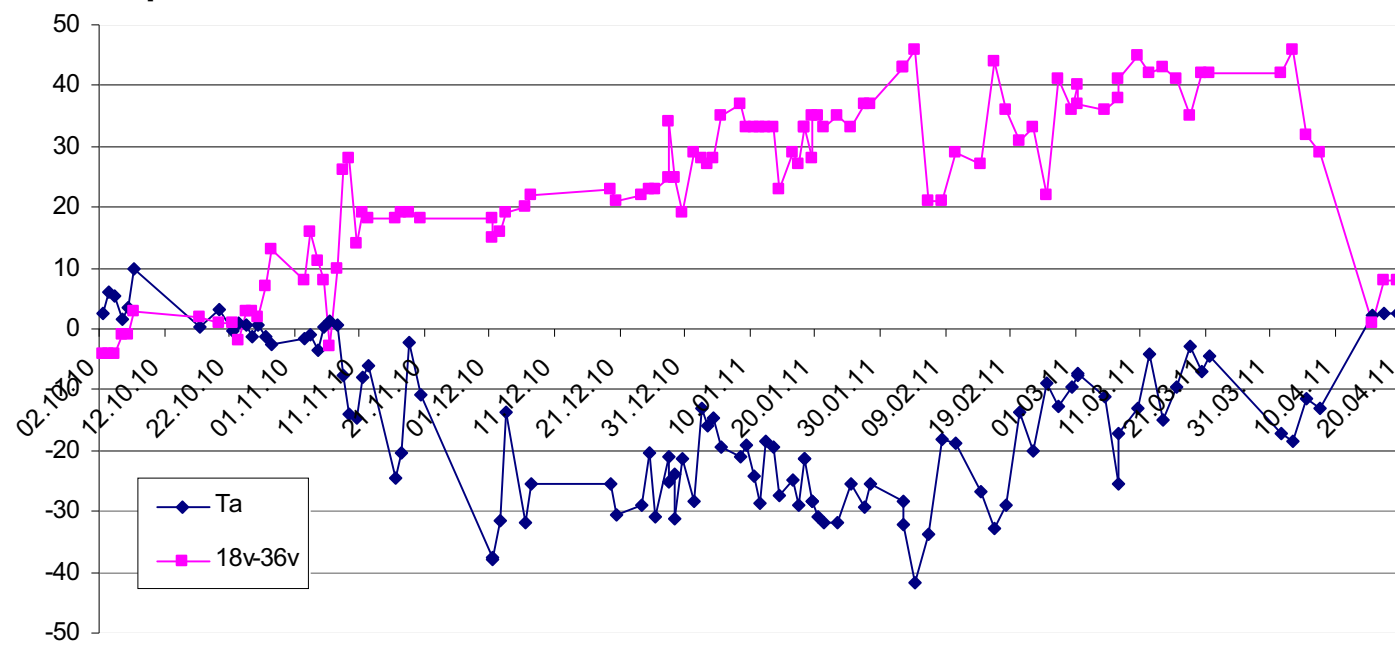
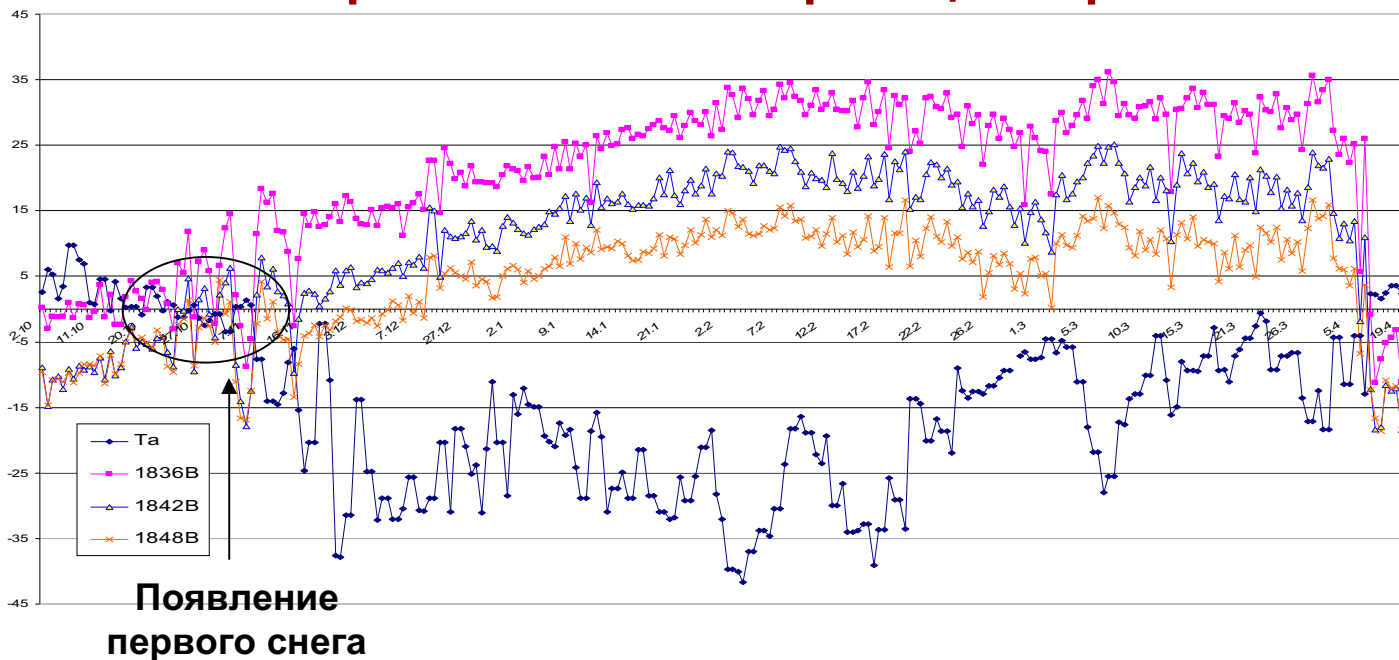
# Временной ход температуры воздуха и яркостных температур на горизонтальной поляризации в районе станции Салехард



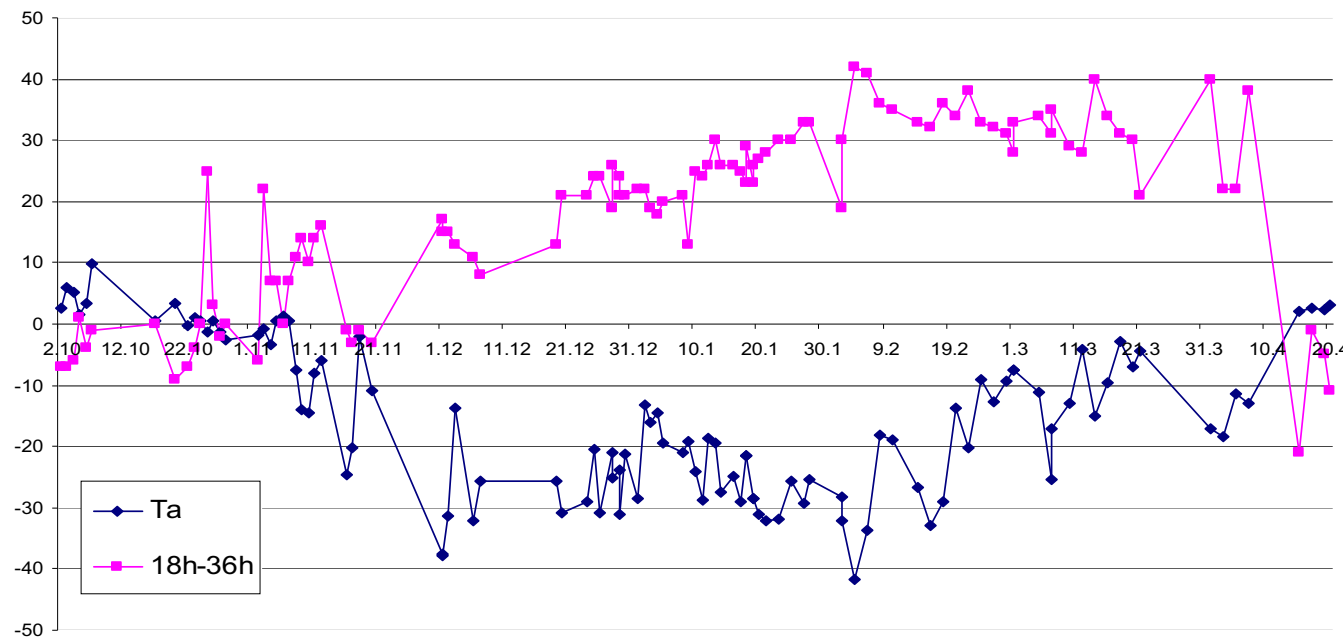
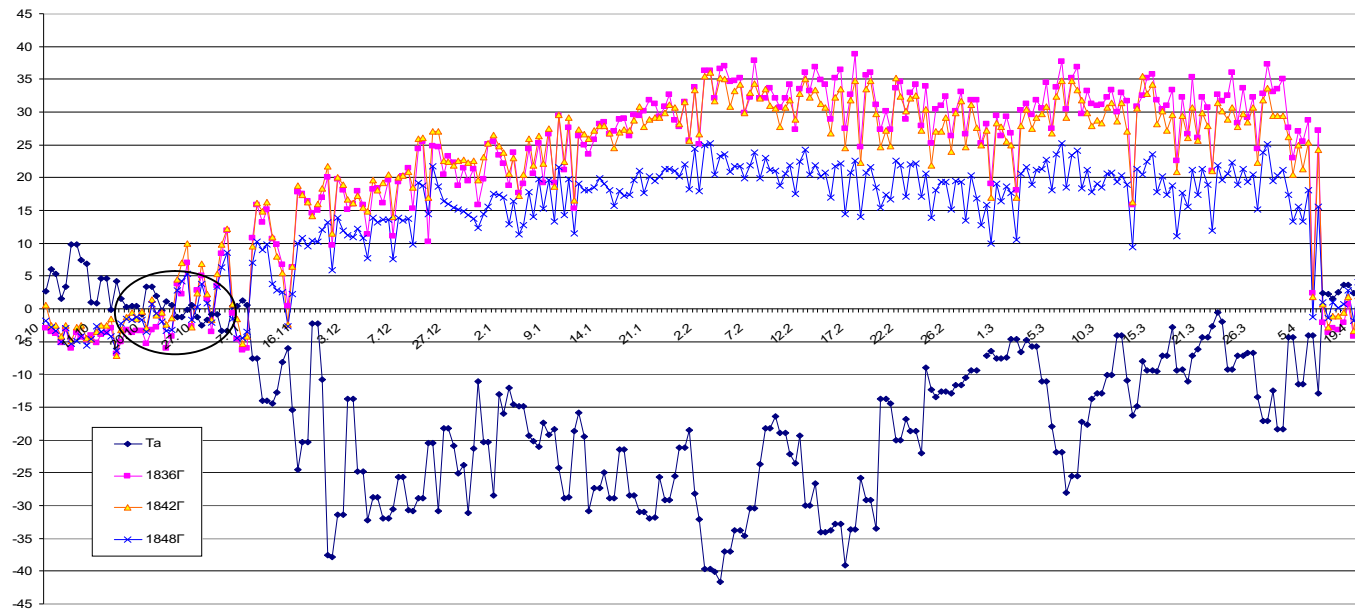
Аналогичная картина наблюдается по данным радиометров МТВЗА-ГЯ со спутника Метеор-М №1 и AMSR-E Aqua



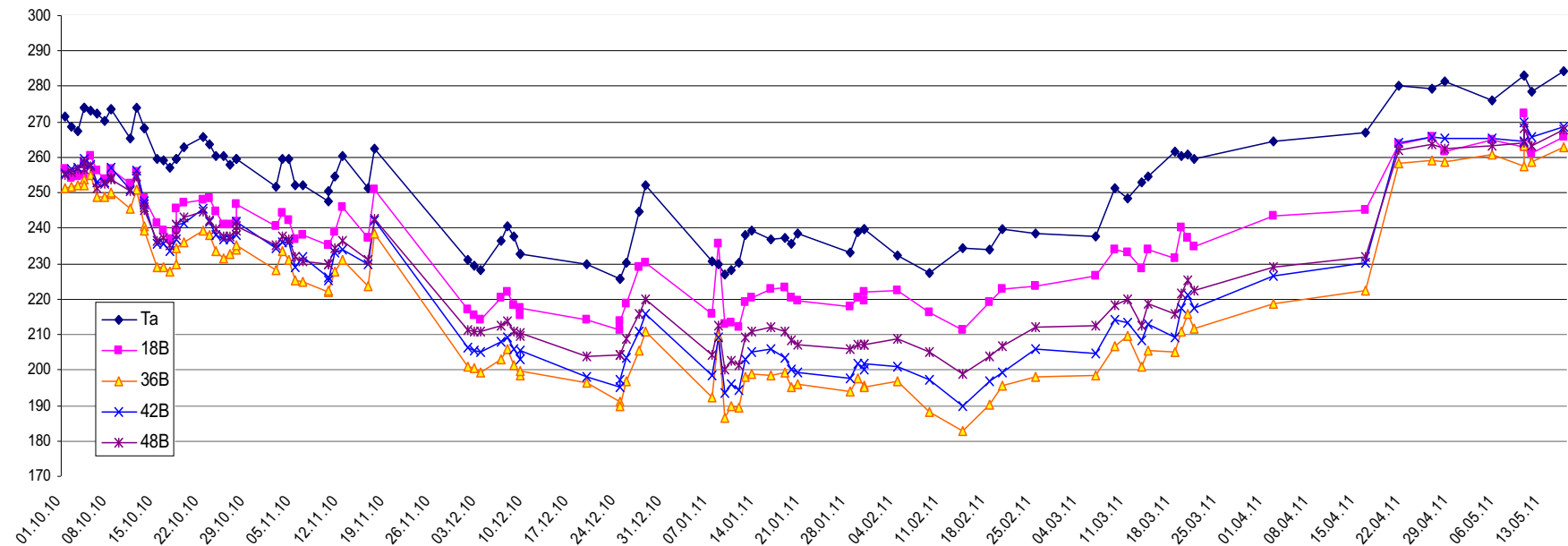
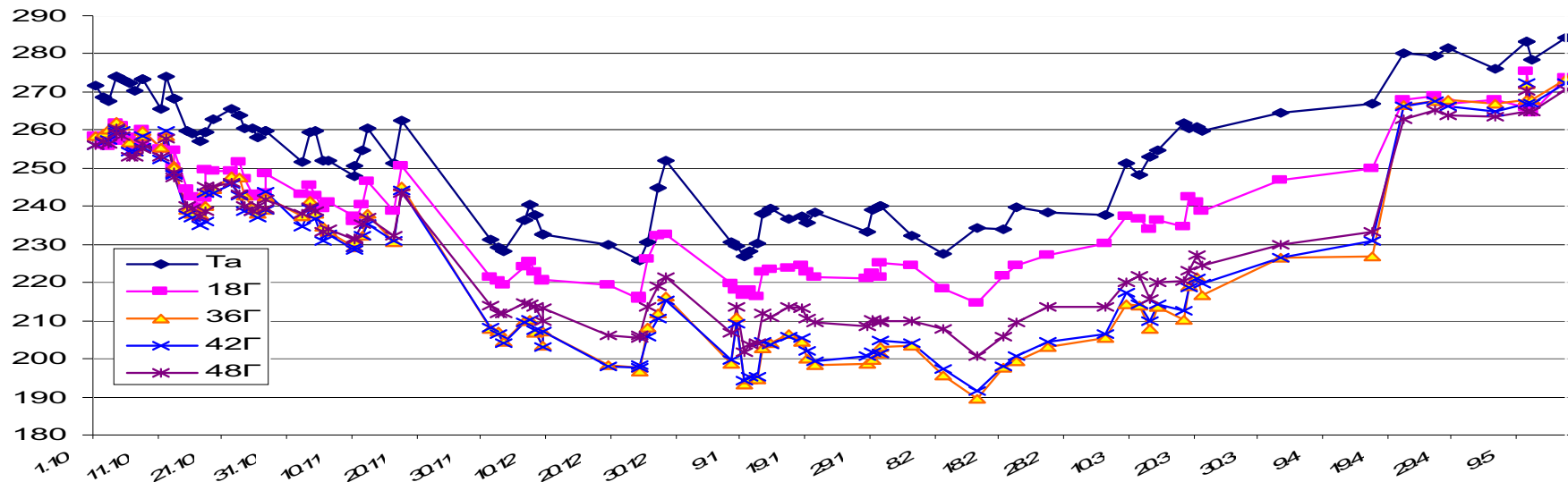
# Изменение $t^{\circ}\text{C}$ воздуха и разности Тя на частотах 18 и 36, 18 и 42, 18 и 48 на вертикальной поляризации в районе станции Салехард



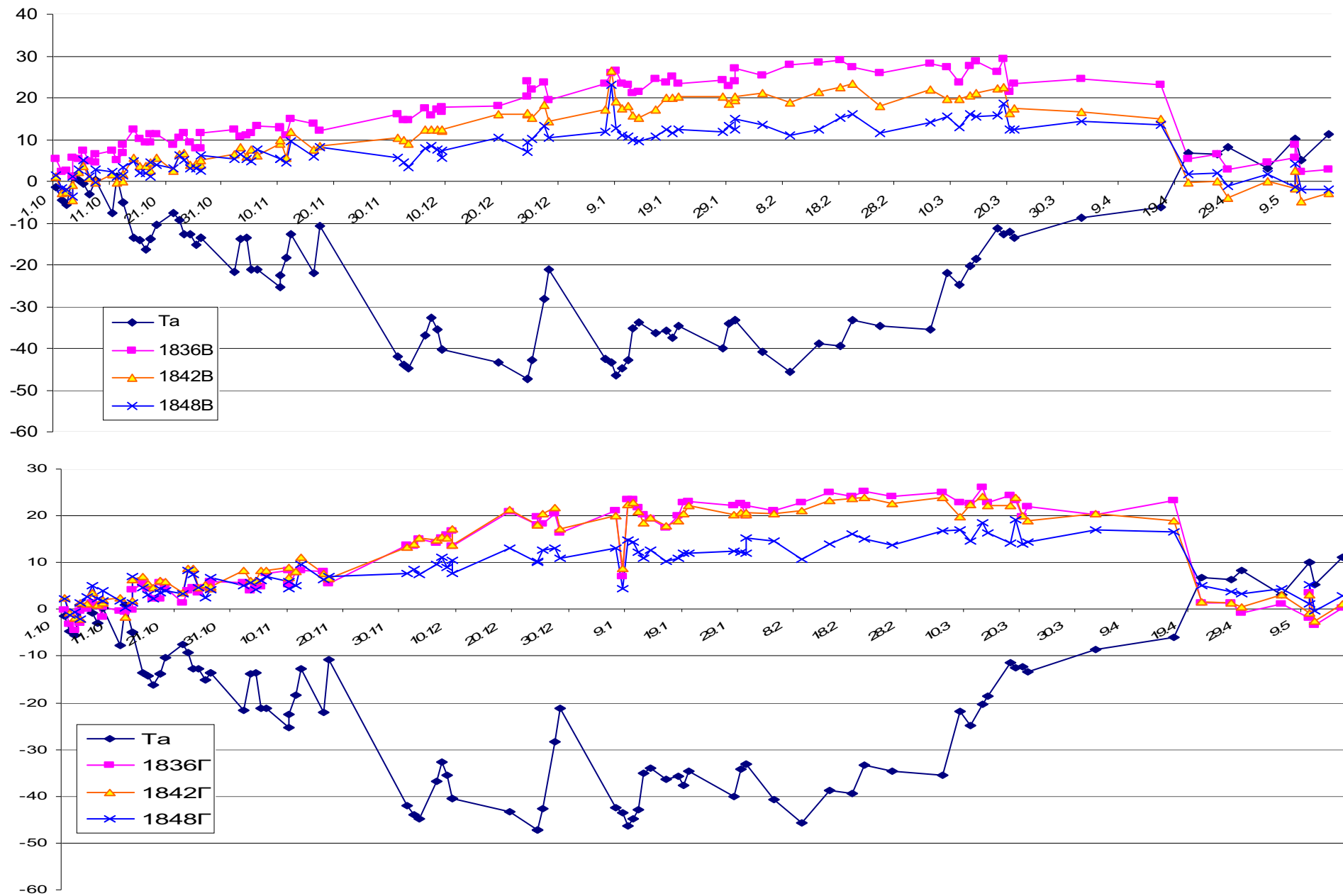
# Изменение $t^{\circ}\text{C}$ воздуха и разности Тя на частотах 18 и 36, 18 и 42, 18 и 48 на горизонтальной поляризации в районе станции Салехард



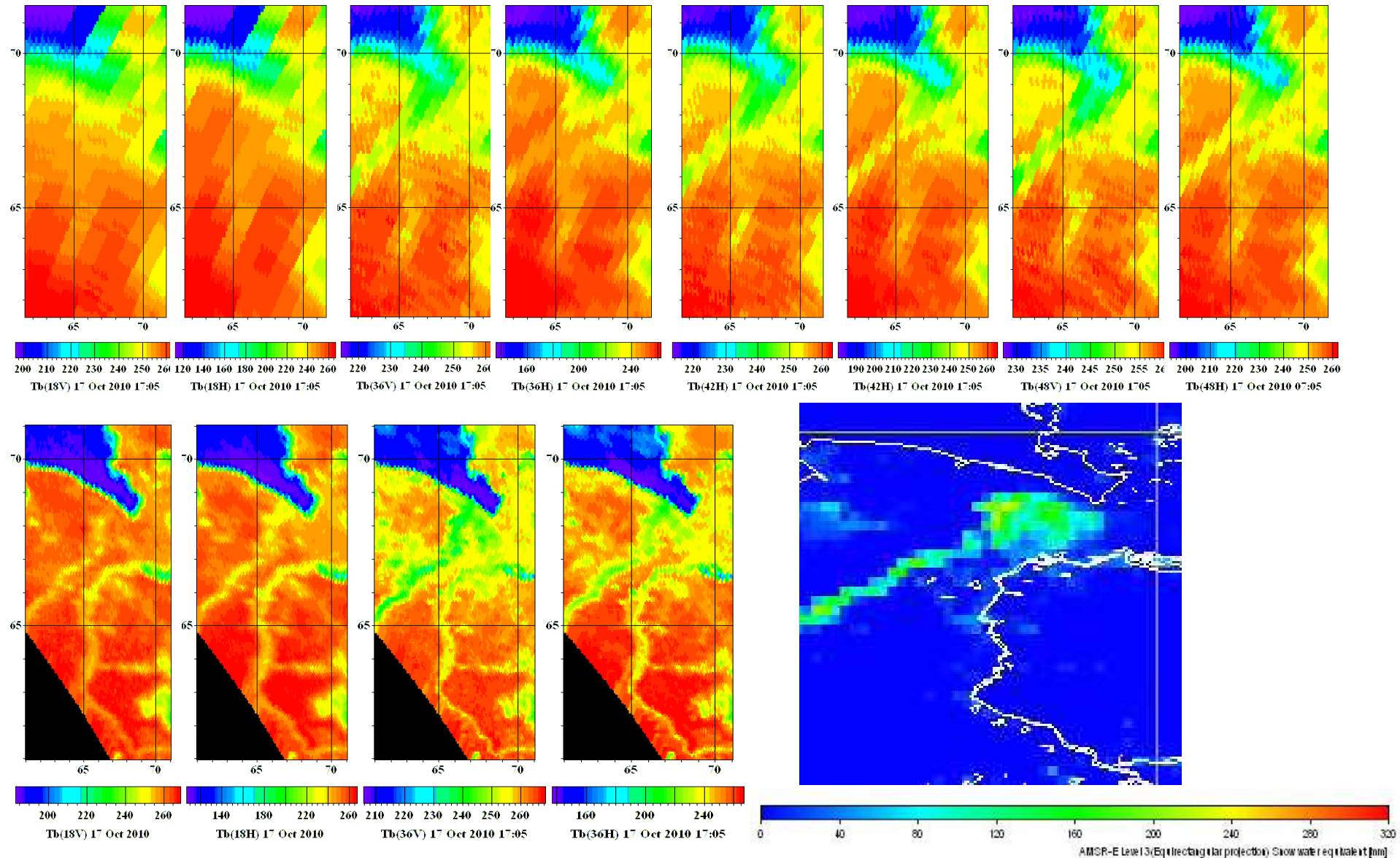
# Временной ход температуры воздуха и яркостных температур на В и Г-поляризациях в районе станции Якутск



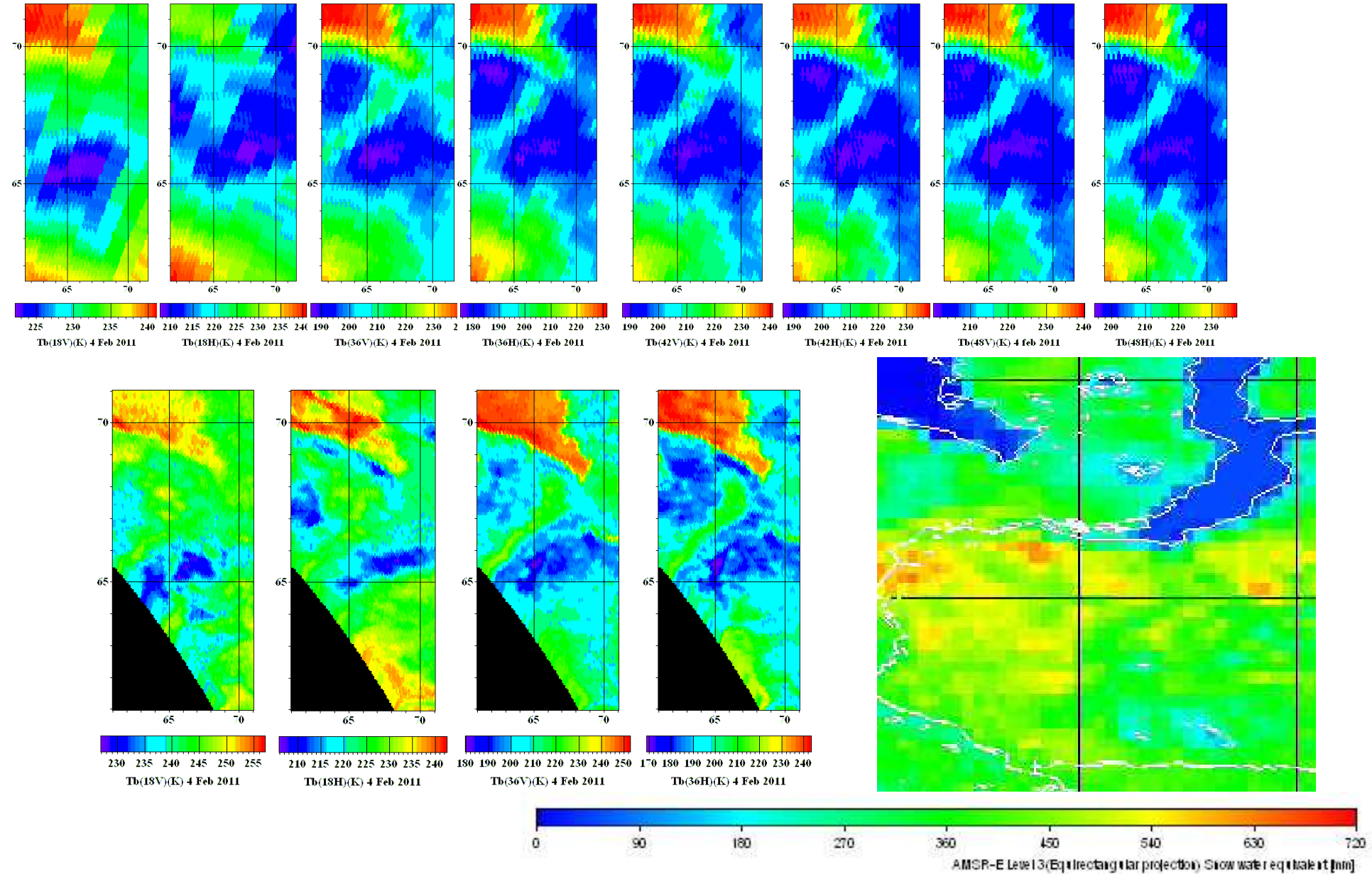
# Изменение $t^{\circ}\text{C}$ воздуха и разности Тя на частотах 18 и 36, 18 и 42, 18 и 48 на В, Г-поляризациях в районе станции Якутск



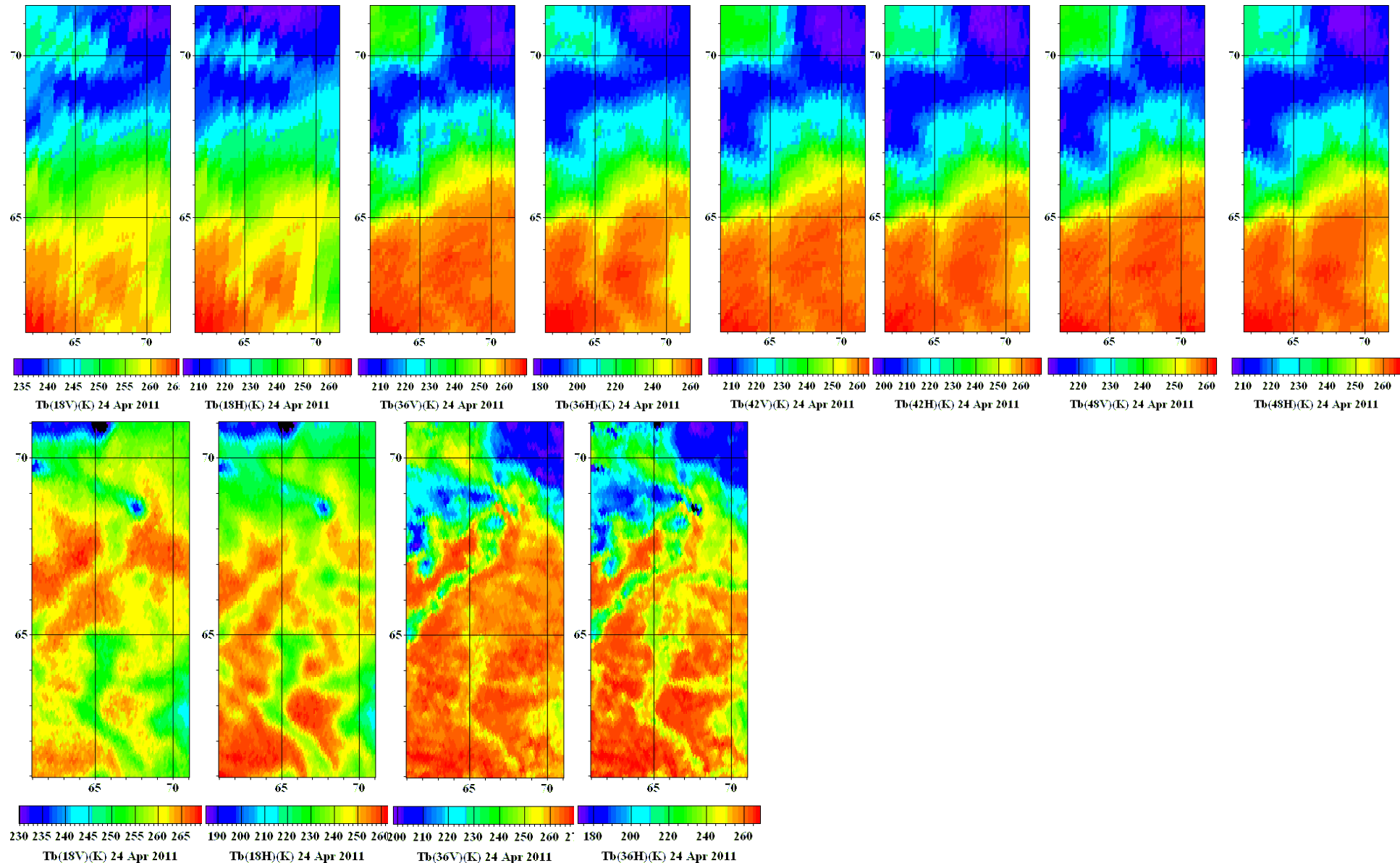
**Поля Тя при появления снега на поверхности и установления «-» температур воздуха в районе станции Салехард по данным радиометров *MTB3A-ГЯ* и *AMSR-E* и поле водного эквивалента (толщины) снега *AMSR-E***



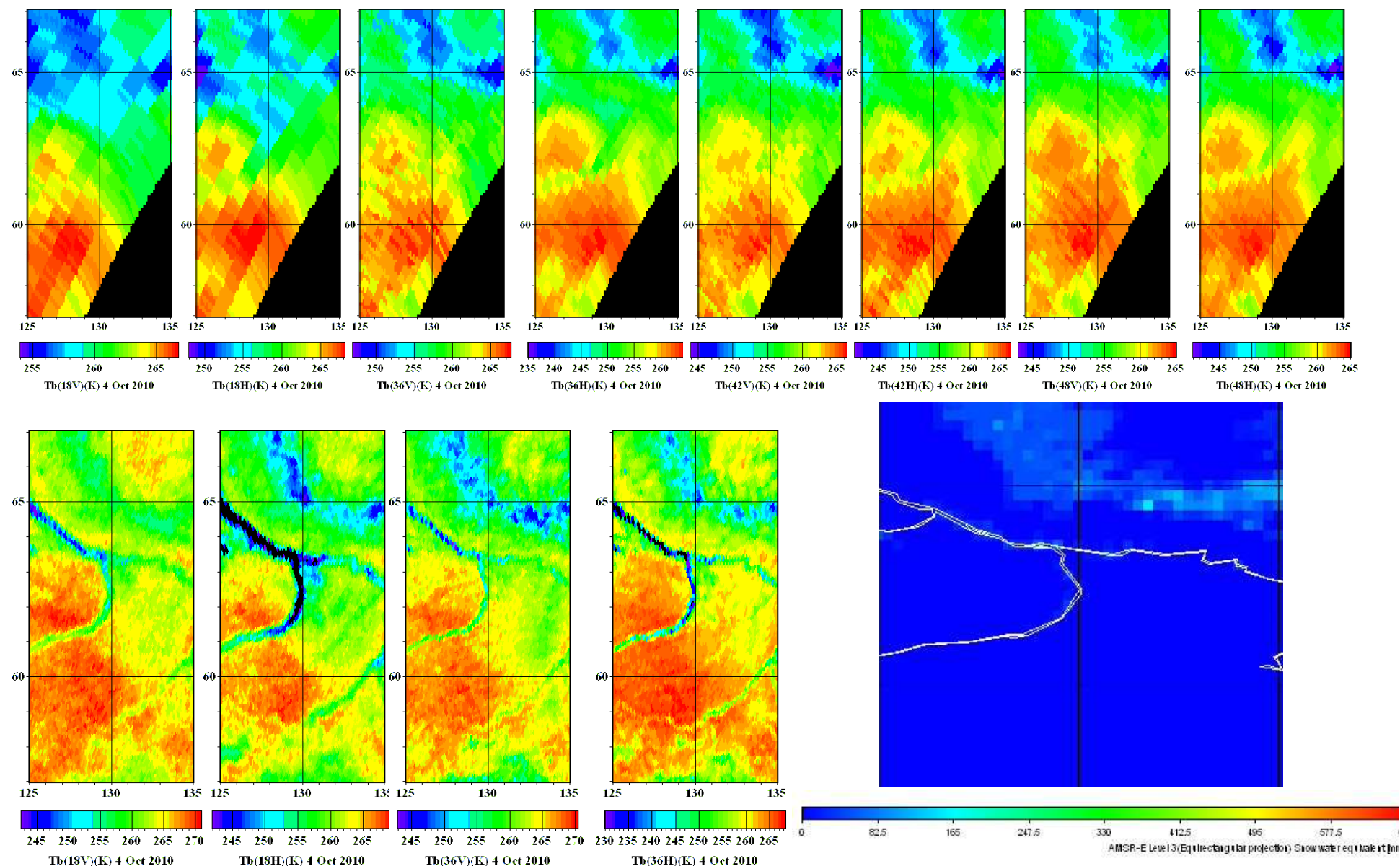
**Поля Тя при минимальной температуре воздуха в районе станции Салехард  
в зимний период по данным радиометров *MTB3A-ГЯ* и *AMSR-E***



# Поля Тя при наступлении оттепелей в районе станции Салехард по данным радиометров *МТВЗА-ГЯ* и *AMSR-E*



**Поля Тя при появлении снега на поверхности и установления «-» температур воздуха в районе станции Якутск по данным радиометров *МТВЗА-ГЯ* и *AMSR-E* и поле водного эквивалента (толщины) снега *AMSR-E***



## Основные выводы

- разность между яркостными температурами на частотах 18.7 и 36.5 ГГц является индикатором появления снега и может использоваться для определения границы снежного покрова;
- после установления снежного покрова наиболее значительные скачкообразные изменения яркостных температур и разностей между Тя на разных частотах происходят в результате оттепелей и связаны с ростом влажности поверхностного слоя снега и образованием корки
- яркостные температуры, измеренные радиометром МТВЗА-ГЯ со спутника Метеор-М №1, могут служить основой для разработки алгоритма оценки водного эквивалента снега.
- временные ряды яркостных температур МТВЗА-ГЯ и AMSR-E хорошо согласуются друг с другом и с изменчивостью температуры воздуха у поверхности (с учетом различий в пространственном разрешении, недостаточной связки поляризационных каналов и погрешностей стабилизации МТВЗА-ГЯ).

**СПАСИБО ЗА ВНИМАНИЕ!**